

# Pauta P1 CZ

a) Por simetría:  $\vec{J} = J(z)\hat{z}$  y  $\vec{E} = E(z)\hat{z}$

→ Estado estacionario  $\Rightarrow \frac{\partial J}{\partial z} = 0 \Rightarrow J = C \hat{x}$ ;  $C$  cte **+0,5**

→  $J = \sigma \vec{E} \Rightarrow \vec{E} = \frac{J}{\sigma} = J \cdot \eta(z) = C \cdot (\eta_0 + \eta_1 e^{-z/d})$  **+0,5**

Aplicando definición de potencial:

$$V_0 = - \int_0^L \vec{E} \cdot d\vec{z} = - \int_0^L C (\eta_0 + \eta_1 e^{-z/d}) dz = -C [\eta_0 L + \eta_1 d (1 - e^{-L/d})]$$

$$\Rightarrow C = \frac{-V_0}{\eta_0 L + \eta_1 d (1 - e^{-L/d})} \quad \mathbf{+1,0}$$

$$\begin{cases} \vec{J} = \frac{-V_0}{\eta_0 L + \eta_1 d (1 - e^{-L/d})} \hat{z} \\ \vec{E} = \frac{-V_0 (\eta_0 + \eta_1 e^{-z/d})}{\eta_0 L + \eta_1 d (1 - e^{-L/d})} \hat{z} \end{cases} \quad \mathbf{+1,0}$$

b) Usando que

$$I = \iint_0^{2\pi} \int_0^a \vec{J} \cdot d\vec{S} \Rightarrow I = \frac{V_0 \pi a^2}{\eta_0 L + \eta_1 d (1 - e^{-L/d})} \quad \mathbf{+0,5}$$

$$\text{y luego con } V = IR \Rightarrow R = \frac{\eta_0 L + \eta_1 d (1 - e^{-L/d})}{\pi a^2} \quad \mathbf{+0,5}$$

c) Primero se calcula  $\vec{D}$

$$\Rightarrow \vec{D} = \frac{-V_0 (\eta_0 + \eta_1 e^{-z/d}) \epsilon_0}{\eta_0 L + \eta_1 d (1 - e^{-L/d})}$$

$$\Rightarrow \rho_f = \nabla \cdot \vec{D} = \frac{V_0 \epsilon_0 \eta_1 e^{-z/d}}{d [\eta_0 L + \eta_1 d (1 - e^{-L/d})]} \quad \mathbf{+0,5}$$

Para las superficiales se usa  $\vec{D} \cdot \hat{n} = \sigma_{\perp}$

$$\sigma_{\text{sup}} = \frac{-V_0 (n_0 + n_1 e^{-L/d}) \epsilon_0}{n_0 L + n_1 d (1 - e^{-L/d})}$$

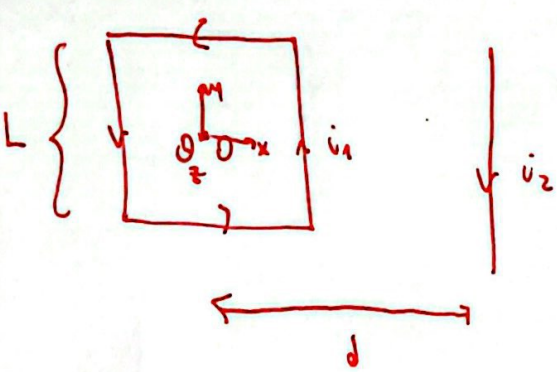
+0,5

$$\sigma_{\text{inf}} = \frac{V_0 (n_0 + n_1) \epsilon_0}{n_0 L + n_1 d (1 - e^{-L/d})}$$

d) Se producirá un reordenamiento de cargas durante un periodo de tiempo, hasta que las cargas se anulen de tal forma que se tenga  $\vec{E} = 0$ . Esto ocurre debido a que ya no hay un potencial externo que mantenga el movimiento de cargas.

+1,0

Parte P2



a) Por simetria, basta calcular 1 lado y multiplicar por 4 (+0,5)

$\vec{r} = 0$ ;  $\vec{r}' = \frac{L}{2}\hat{x} + y\hat{y}$ ,  $y \in [-L/2, L/2]$  con  $L = \sqrt{L^2}$  (+0,5)

$$\Rightarrow \vec{B}_1 = \frac{\mu_0}{4\pi} \int \frac{Id\vec{e} \times (\vec{r} - \vec{r}')}{\|\vec{r} - \vec{r}'\|^3}$$

$$= \frac{\mu_0}{4\pi} \int_{-L/2}^{L/2} \frac{i_1 dy \hat{x} \times (0 - (\frac{L}{2}\hat{x} + y\hat{y}))}{\|0 - \frac{L}{2}\hat{x} - y\hat{y}\|^3}$$

$$= \frac{\mu_0}{4\pi} i_1 \hat{k} \int_{-L/2}^{L/2} \frac{L/2}{\sqrt{L^2/4 + y^2}^3} dy$$

$$= \frac{\mu_0}{4\pi} i_1 \frac{L}{2} \hat{k} \int_{-L/2}^{L/2} \frac{dy}{\sqrt{L^2/4 + y^2}^3} \quad \left| \begin{array}{l} y = \frac{L}{2} \tan \theta \\ \Rightarrow dy = \frac{L}{2} \sec^2 \theta d\theta \end{array} \right.$$

$$= \frac{\mu_0}{8\pi} i_1 L \hat{k} \int_{-\pi/4}^{\pi/4} \frac{\frac{L}{2} \sec^2 \theta d\theta}{\sqrt{\frac{L^2}{4} + L^2 \tan^2 \theta}^3} = \frac{\mu_0}{28\pi} i_1 \hat{k} \int_{-\pi/4}^{\pi/4} \frac{\sec^2 \theta d\theta}{\underbrace{\sqrt{\frac{L^2}{4} + L^2 \tan^2 \theta}}_{\sec \theta}^3}$$

$$= \frac{\mu_0}{28\pi L} i_1 \hat{k} \int_{-\pi/4}^{\pi/4} \frac{\sec^2 \theta d\theta}{\sec^3 \theta} \quad \left| \begin{array}{l} \int \frac{\sec^2 \theta}{\sec^3 \theta} d\theta \\ \int \cos \theta d\theta \\ 2m \frac{\pi}{4} = \sqrt{2} \end{array} \right.$$

$$\Rightarrow \vec{B}_{\text{tot}} = 4\vec{B}_1 = \frac{2\mu_0 \sqrt{2}}{\sqrt{2}} i_1 \hat{k} \Rightarrow \vec{B}_1 = \frac{\mu_0}{2\pi} \frac{i_1}{L} \hat{k} \sqrt{2}$$

b) Campo del hilo: 2 opfes:

Ampere:

$$\oint \vec{B} \cdot d\vec{C} = \mu_0 I \quad / \quad \vec{B} = B(\rho) \hat{\phi}$$

$$\Rightarrow \int_0^{2\pi} B \hat{\phi} \cdot \rho d\phi \hat{\phi} = \mu_0 i z$$

$$\Rightarrow -B\rho \cdot 2\pi = \mu_0 i z \Rightarrow \vec{B} = -\frac{\mu_0 i z}{2\pi \rho} \hat{\phi} \xrightarrow[\hat{\phi} = -\hat{k}]{\rho = d} \vec{B} = -\frac{\mu_0 i z}{2\pi d} \hat{k}$$

Definición: Misma integral por otros pro  $y \in (-a, a)$ ,  $y d\vec{r} = -dy \hat{y}$

$$\Rightarrow \vec{B} = \frac{\mu_0}{4\pi} \int_{-a}^a \frac{-\hat{z} dy \hat{y} \times (y - d\hat{x} - z\hat{y})}{\|y - d\hat{x} - z\hat{y}\|^3} = -\frac{\mu_0}{4\pi} i z d\hat{k} \int_{-a}^a \frac{dy}{(d^2 + y^2)^{3/2}} \quad / \quad \text{misma CV}$$

$$= -\frac{\mu_0}{4\pi} i z d\hat{k} \int_{-\pi/2}^{\pi/2} \frac{d \sec^2 \theta d\theta}{d^3 (1 + \tan^2 \theta)^{3/2}}$$

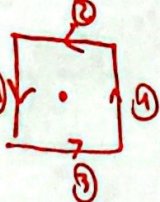
$$= -\frac{\mu_0}{4\pi} i z \frac{1}{d} \hat{k} \int_{-\pi/2}^{\pi/2} \cos \theta d\theta \quad \begin{matrix} \nearrow \\ 2 \sin \frac{\pi}{2} = 2 \end{matrix}$$

$$\vec{B} = -\frac{\mu_0 i z}{2\pi d} \hat{k}$$

(10)

$$\vec{B} + \vec{B}' = 0 \Rightarrow \frac{2 \mu_0 i_1 \sqrt{2}}{4\pi L} = \frac{\mu_0 i_2}{2\pi d} \Rightarrow i_2 = \frac{4\sqrt{2} i_1 d}{\sqrt{2}} \quad (110)$$

c) Para obter la fuerza, vamos por



$$\vec{F} = \oint \vec{I} d\vec{l} \times \vec{B} = \int_1 i_1 d\vec{l} \times \vec{B} + \int_2 i_1 d\vec{l} \times \vec{B} + \int_3 i_1 d\vec{l} \times \vec{B} + \int_4 i_1 d\vec{l} \times \vec{B}$$

1):  $\int_{-L/2}^{L/2} i_1 dy \hat{y} \times \frac{-\mu_0 i_2}{2\pi(d-y_2)} \hat{k} = -i_1 i_2 \mu_0 \hat{y} \int_{-L/2}^{L/2} dy = -\frac{i_1 i_2 \mu_0 L}{2\pi(d-y_2)} \hat{y} \quad (115)$

2):  $\int_{L/2}^{L/2} i_1 dx \hat{x} \times \frac{-\mu_0 i_2}{2\pi(d-x)} \hat{k}$ , pero 2) =  $\int_{-L/2}^{L/2} i_1 dx \hat{x} \times \frac{-\mu_0 i_2}{2\pi(d-x)}$

$\Rightarrow \int_2 + \int_3 = 0!$  (110)

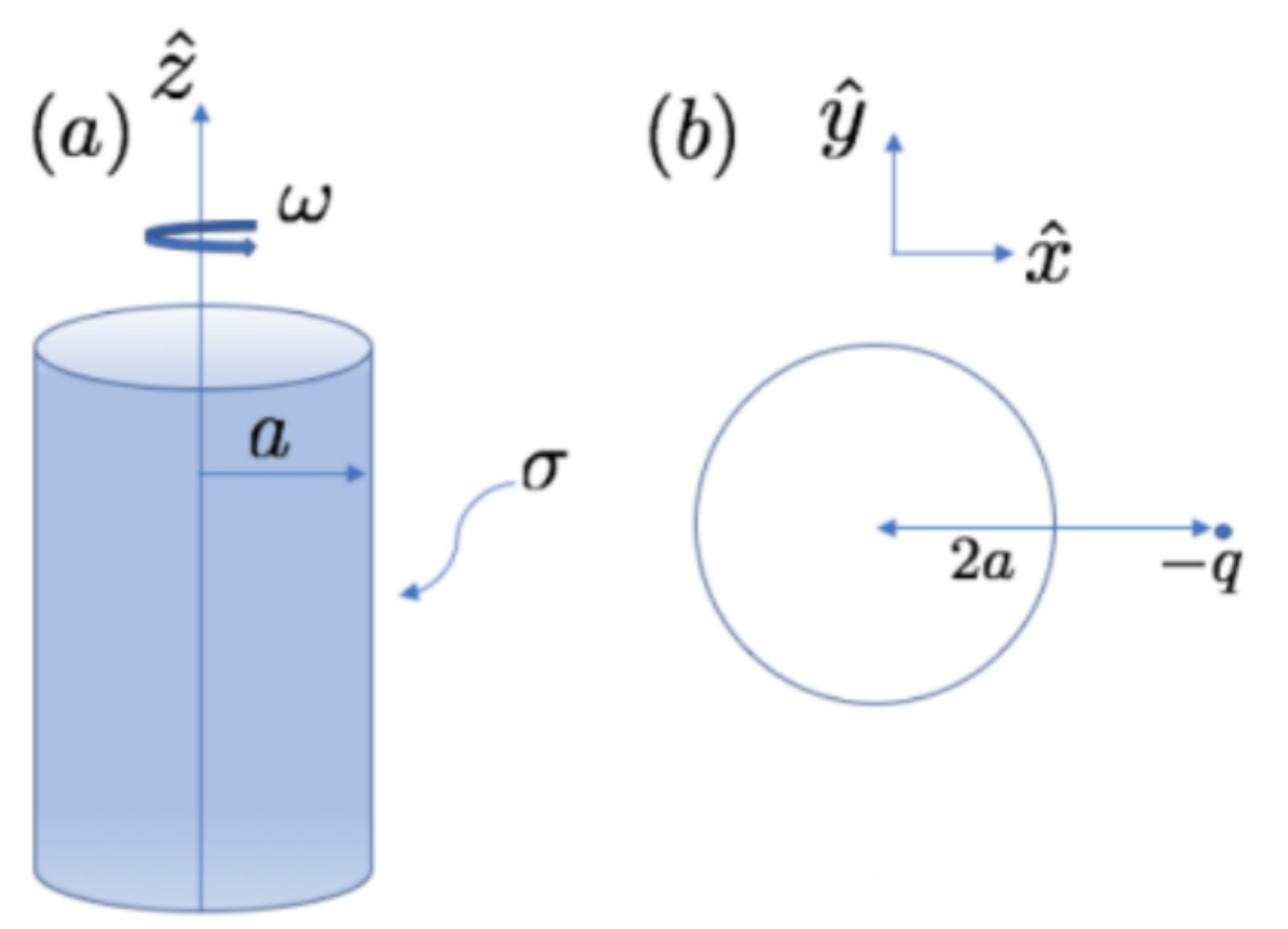
4):  $\int_{L/2}^{-L/2} i_1 dy \hat{y} \times \frac{-\mu_0 i_2}{2\pi(d+y_2)} \hat{k} = \frac{\mu_0 i_1 i_2}{2\pi(d+L/2)} \hat{y} \int_{L/2}^{-L/2} dy = \frac{\mu_0 i_1 i_2 L}{2\pi(d+L/2)} \hat{y} \quad (115)$

$$\Rightarrow \vec{F} = \int_1 i_1 d\vec{l} \times \vec{B} + \int_2 i_1 d\vec{l} \times \vec{B} + \int_3 i_1 d\vec{l} \times \vec{B} + \int_4 i_1 d\vec{l} \times \vec{B} = \hat{y} \frac{\mu_0 i_1 i_2 L}{2\pi} \left( \frac{1}{d+L/2} - \frac{1}{d-L/2} \right)$$

$$\vec{F}_{\text{res}} = \frac{-\mu_0 i_1 i_2 L^2}{2\pi(d^2 - L^2/4)} \hat{y}$$

P3. Una superficie cilíndrica de radio  $a$  y longitud infinita está cargada eléctricamente con una densidad superficial uniforme  $\sigma$  (considere  $\sigma > 0$ ). La superficie gira alrededor de su eje de simetría con velocidad angular  $\omega$  (ver figura a), de manera que desde un sistema de referencia en reposo se observa una densidad superficial de corriente en el cilindro, cuya expresión en coordenadas cilíndricas es  $\vec{K} = \sigma a \omega \hat{\phi}$ . Adicionalmente, como consecuencia de la densidad de carga eléctrica, se origina un campo eléctrico dado por la siguiente expresión:

$$\vec{E}(\vec{r}) = \begin{cases} 0 & \text{para } \rho < 0 \\ \frac{a\sigma}{\epsilon_0\rho} \hat{\rho} & \text{para } \rho > 0 \end{cases} \quad (1)$$

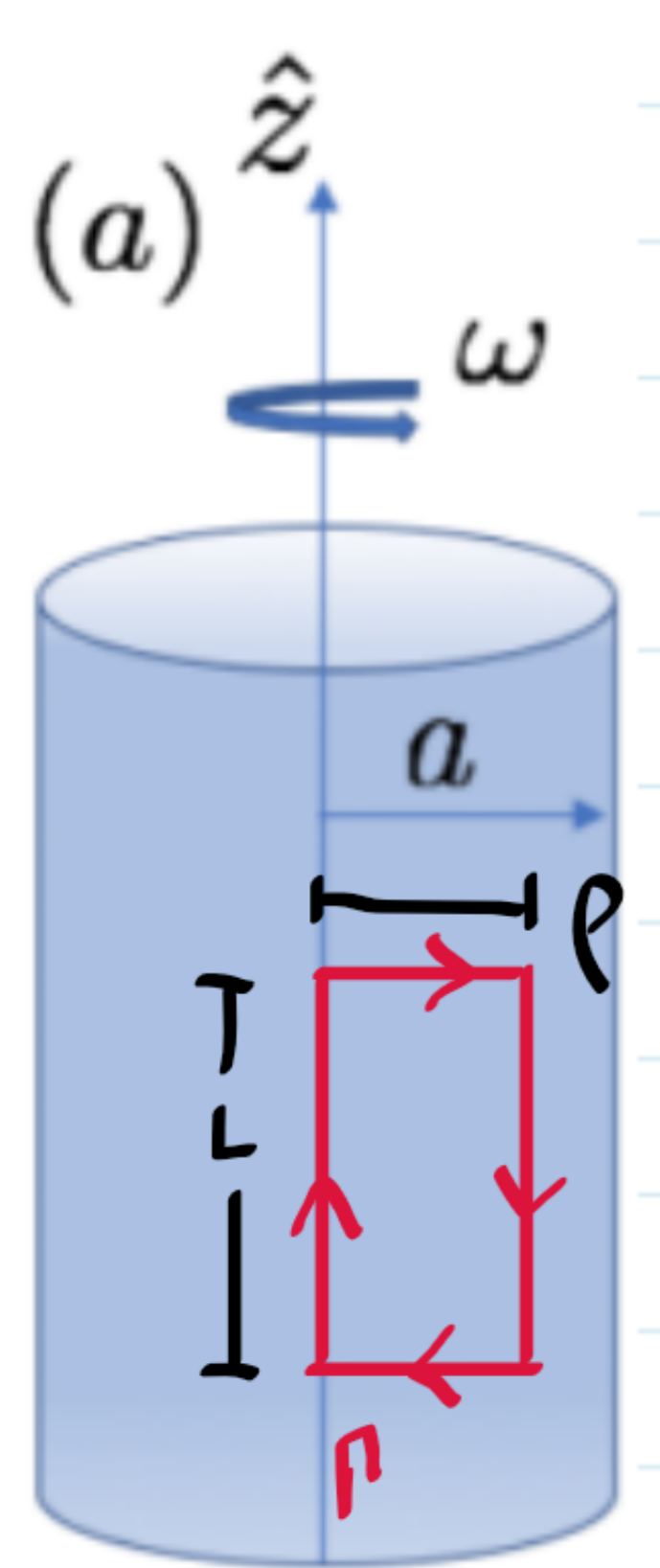


a) Calcule el campo magnético  $\vec{B}$  en todo el espacio (dentro y fuera del cilindro) (3 pts.)

Como se trata de un cilindro infinito y  $\vec{z}$  tiene simetría cilíndrica, podemos usar la ley de Ampère:

$$\oint \vec{B} \cdot d\vec{l} = \mu_0 I_{enc} \quad \leftarrow \text{coord cilíndricas}$$

\* Por simetría, podemos decir que  $\vec{B} = B(\rho) \hat{z} \leftarrow \text{regla mano derecha (+0,3)}$



1)  $\rho < a$ :

→ Tomemos un loop amperiano  $\Gamma$  de lados  $\rho$  y  $L$ :

$$\Rightarrow \oint_{\Gamma} \vec{B} \cdot d\vec{l} = \int_0^L (B(\rho=0) \hat{z}) \cdot (dz \hat{z}) + \int_0^{\rho} (B(\rho) \hat{z}) \cdot (d\rho \hat{\rho}) + \int_0^L (B(\rho) \hat{z}) \cdot (-dz \hat{z}) + \int_0^{\rho} (B(\rho) \hat{z}) \cdot (-d\rho \hat{\rho})$$

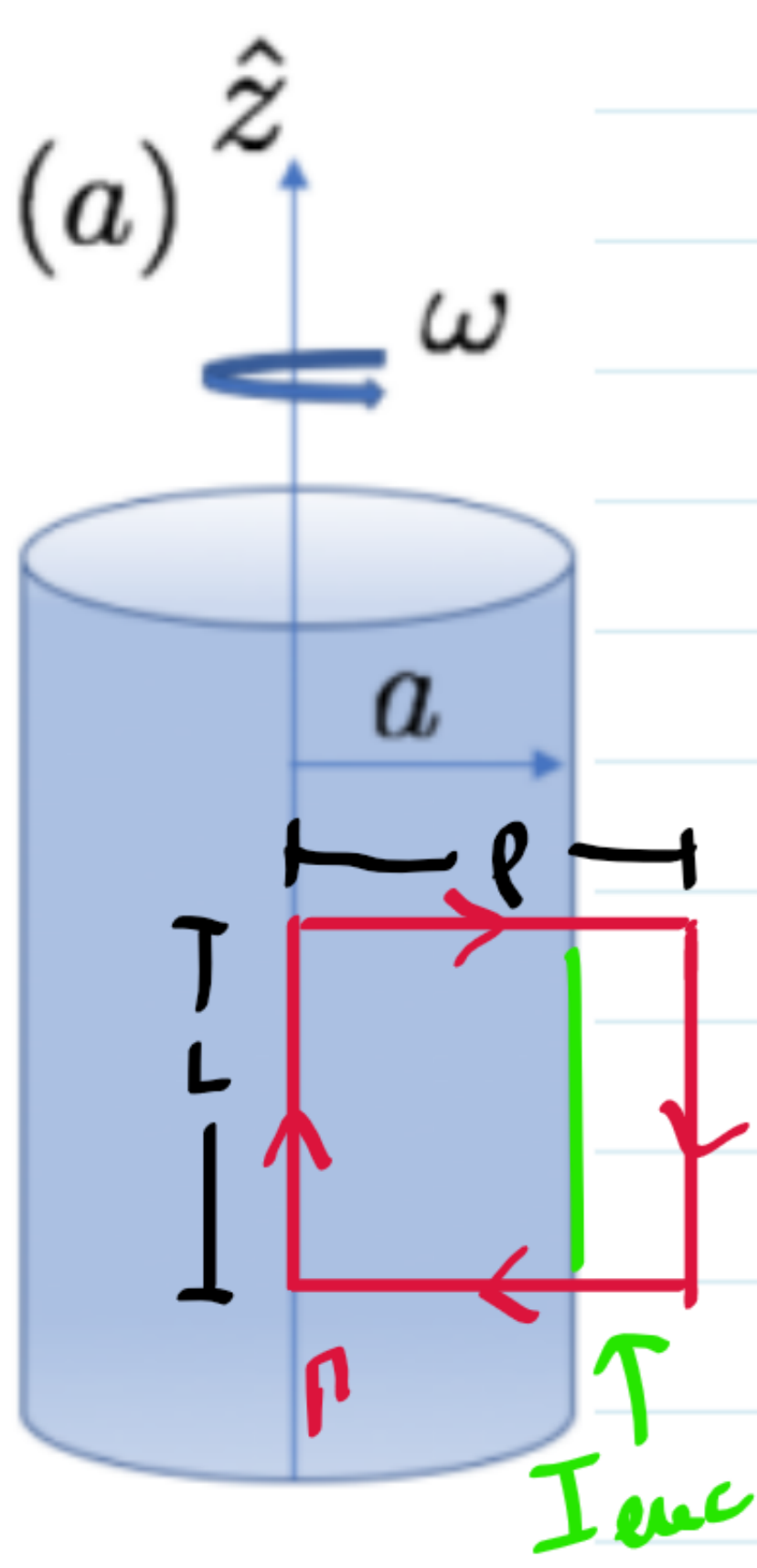
$\hat{z} \cdot \hat{\rho} = 0$

$$\Rightarrow \oint_{\Gamma} \vec{B} \cdot d\vec{l} = L [B(0) - B(\rho)] \quad (+0,5)$$

luego,  $I_{enc} = 0$  en este caso pues toda la corriente es superficial!

$$\Rightarrow \oint_{\Gamma} \vec{B} \cdot d\vec{l} = L [B(0) - B(\rho)] \stackrel{!}{=} \mu_0 I_{enc} = 0$$

$$\Rightarrow B(0) = B(\rho < a) \dots (1) \quad \leftarrow \text{el campo dentro del cilindro es de } B(0) \quad (+0,5)$$



2)  $\rho > a$ :  $\oint_{\Gamma} \vec{B} \cdot d\vec{l} = L [B(0) - B(\rho)]$  igual que antes

... pero ahora,  $I_{enc} = \int (\vec{K} \times \hat{n}) \cdot (d\vec{l})$  con  $\hat{n} = \hat{\rho}$ ;  $d\vec{l} = dz \hat{z}$   $\leftarrow$  normal a la sup. del  $\square$

$$\Rightarrow I_{enc} = \int_0^L (\sigma a \omega \cdot (-\hat{z})) \cdot (dz \hat{z}) = -\sigma a \omega L \quad (+0,5)$$

$$\text{y entonces: } \cancel{L [B(0) - B(\rho)]} \stackrel{!}{=} -\mu_0 \sigma a \omega L$$

... Continúa

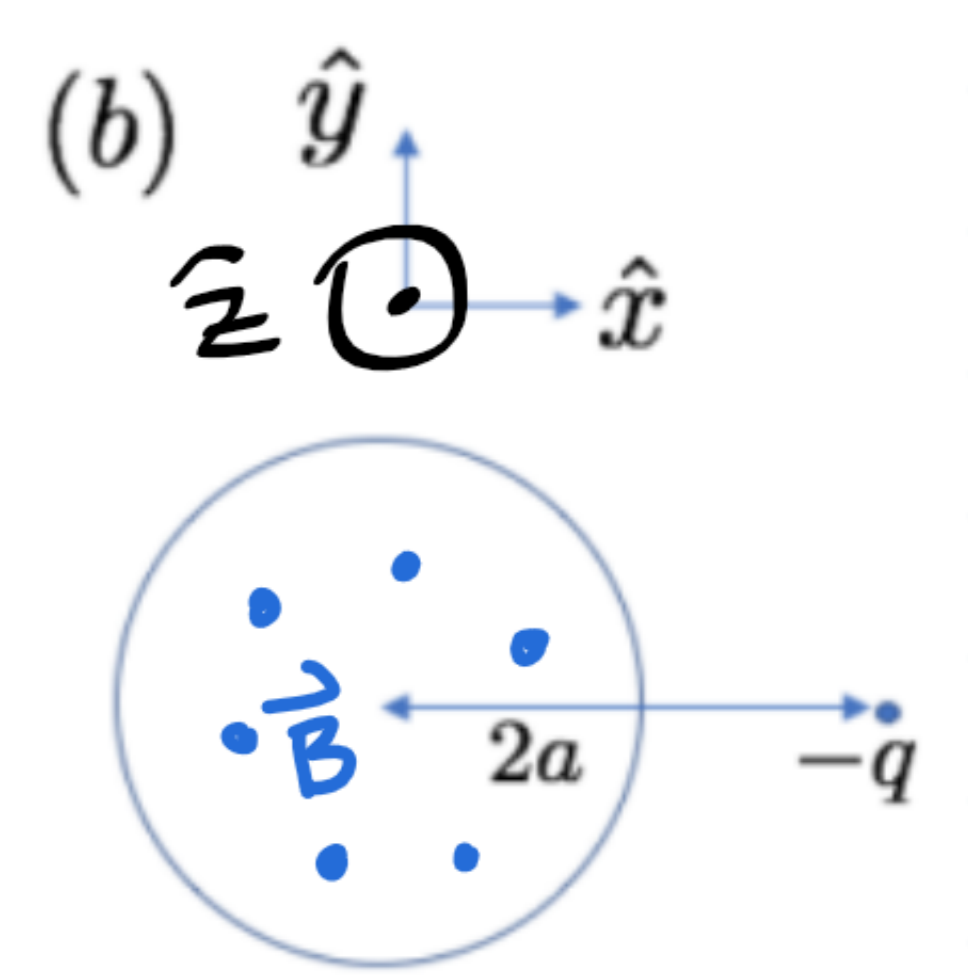
y entonces:  $B(\rho > a) = \mu_0 \sigma a \omega - B(0) \dots (2) \leftarrow \text{notar que } B(\rho > a) = \text{cte!} \text{ (+0,5)}$

$B(0)$ ? Como en  $\rho = \infty$  el campo  $\vec{B}$  debería ser cero y  $B(\rho > a)$  nos dio cte  
 $\Rightarrow B(\rho > a) \stackrel{!}{=} 0 \Rightarrow \boxed{\mu_0 \sigma a \omega = B(0)} \text{ (+0,5)}$   
 (+2)

Reemplazando  $B(0)$  en (1) entonces  $\Rightarrow B(\rho < a) = \mu_0 \sigma a \omega$  y entonces:

$$\vec{B} = \begin{cases} \mu_0 a \omega \hat{z} & \text{si } \rho < a \\ 0 & \text{si } \rho > a \end{cases} \text{ (+0,2 concluir)}$$

Una partícula de carga negativa  $-q$  y de masa  $m$  se suelta desde el reposo en  $\vec{r} = 2a\hat{x}$  (ver figura b).



b) Describa cualitativamente el movimiento de la partícula (suponga que la partícula puede atravesar libremente al cilindro) y dibuje las trayectorias de acuerdo a la magnitud del campo magnético. Específicamente discuta qué sucede para campos magnéticos muy intensos y muy débiles (1 pt.)

La partícula de carga  $-q$  se deja en  $\vec{r} = 2a\hat{x}$ . Eso es fuera del cilindro  
 $\Rightarrow$  ahí no hay campo magnético pero sí campo eléctrico.

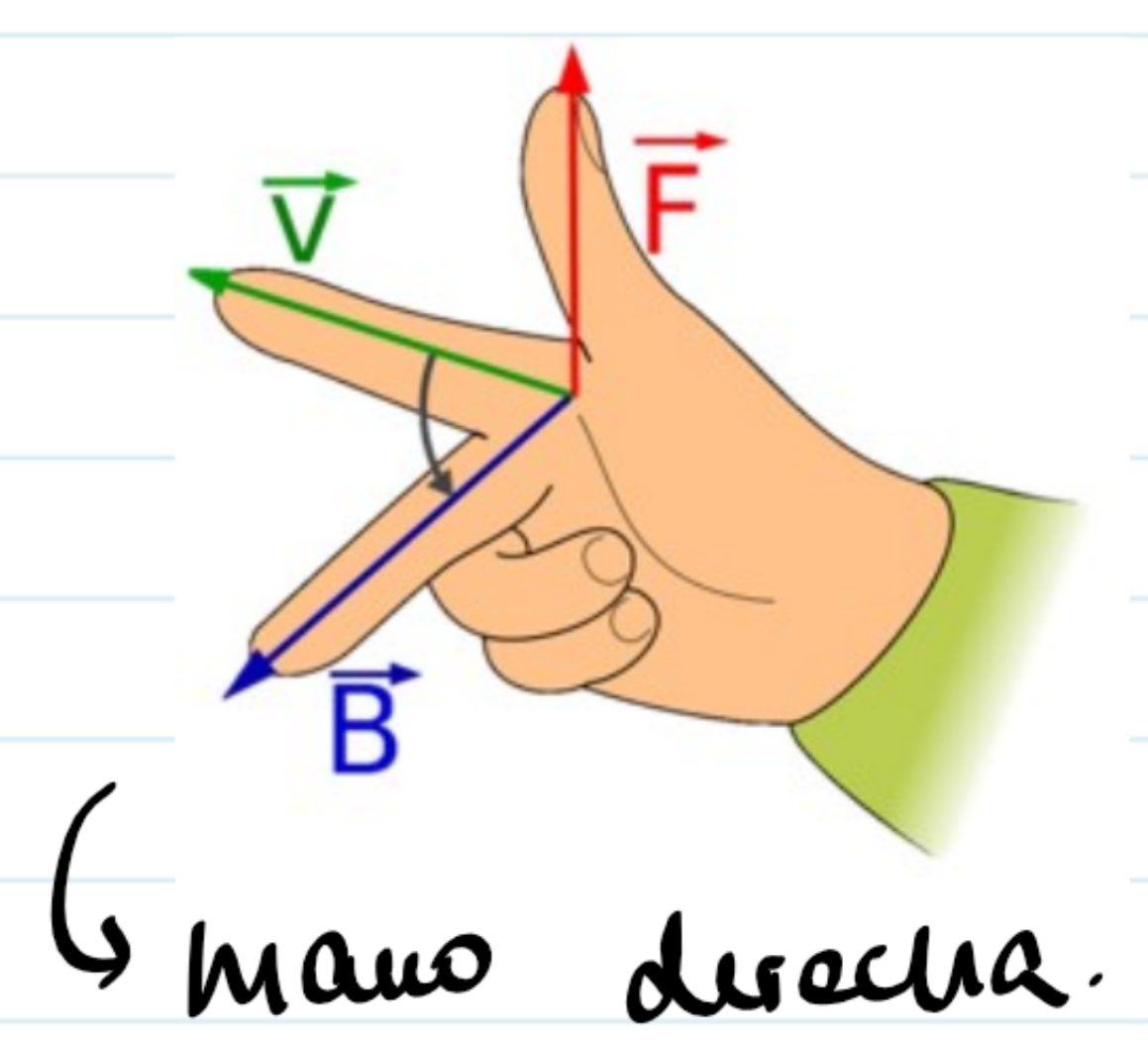
$\Rightarrow$  La partícula siente una Fuerza de Coulomb  $\vec{F} = -q \cdot \vec{E} = -q \frac{a\sigma}{\epsilon_0 x} \hat{x}$

$\Rightarrow$  Inicialmente, la partícula se moverá en  $-\hat{x}$  hacia el cilindro. (en línea recta) (+0,2)

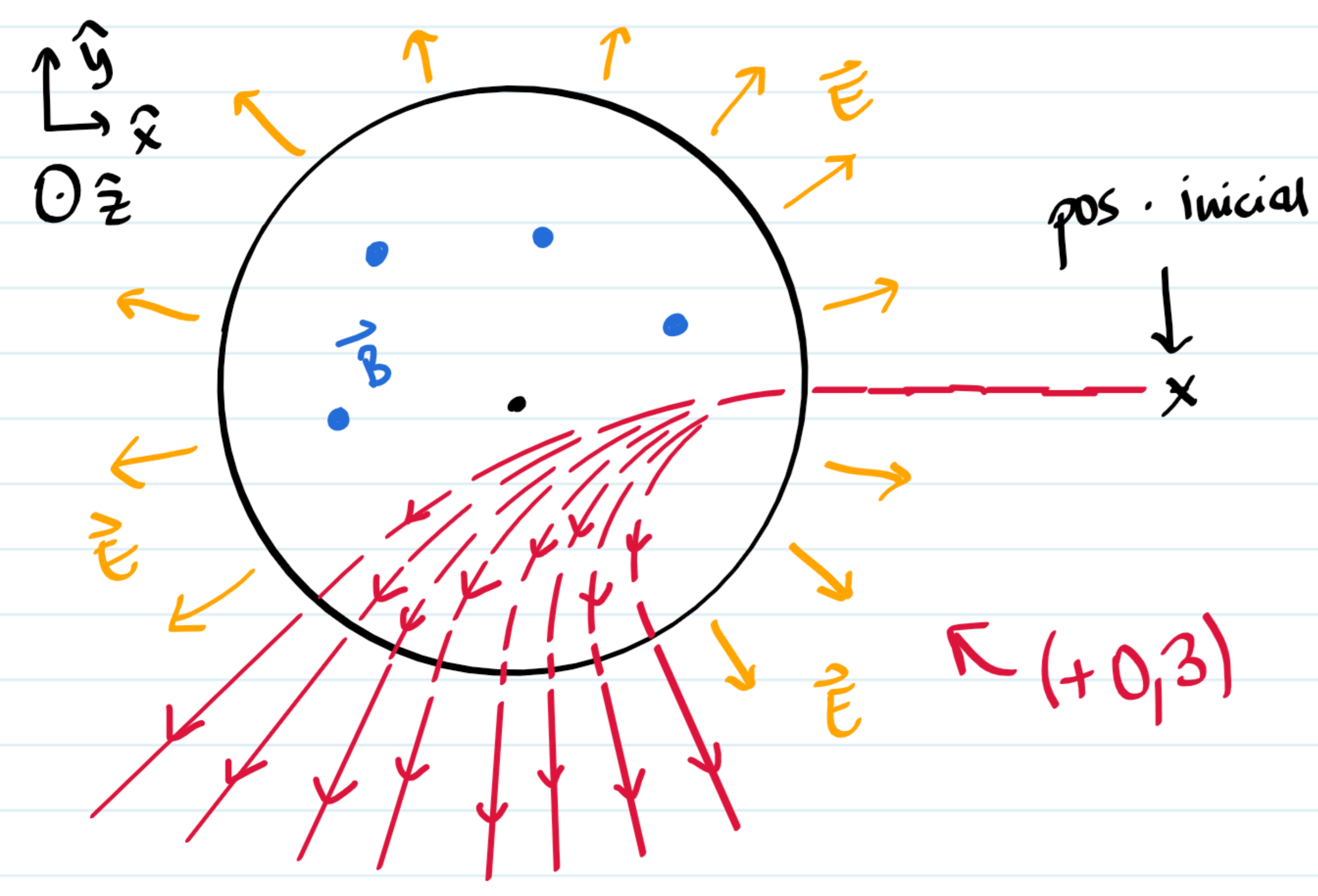
• Una vez que  $-q$  atraviese el cilindro, dejará de sentir  $\vec{E}$  y ahora sentirá  $\vec{B}$

$\Rightarrow$  Sentirá una fuerza de Lorentz  $\vec{F} = -q \cdot \vec{v} \times \vec{B}$  con  $\vec{v} = v(-\hat{x})$

luego, por la regla de la mano izquierda (carga  $-q$ ), el mov. de la partícula se curvará hacia el eje  $-\hat{y}$ ! (+0,3)



$\Rightarrow$  Dependiendo del valor de  $\vec{B}$ , las trayectorias se verán así.



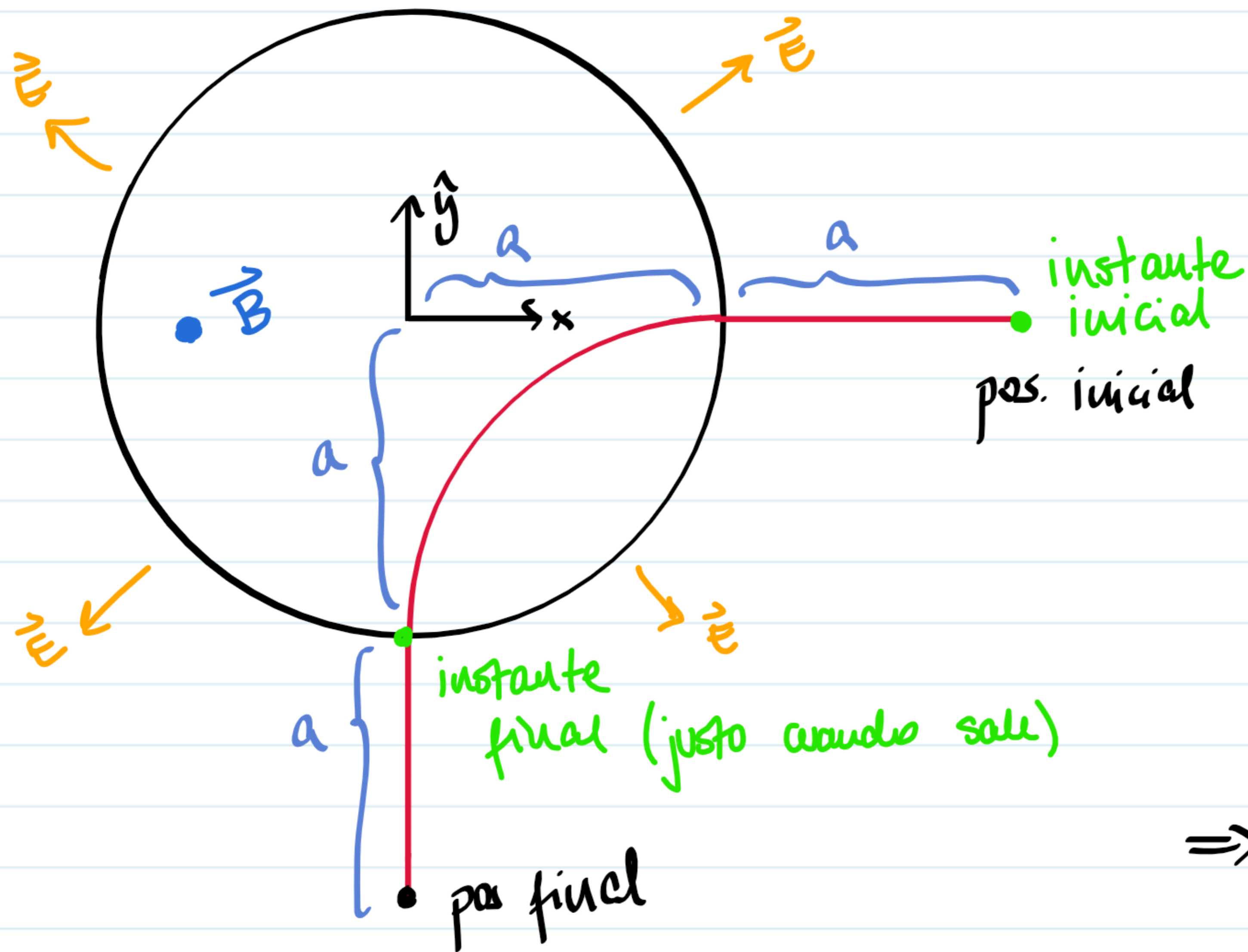
$\rightarrow$  Una vez que  $-q$  sale del cilindro, deja de sentir  $\vec{B}$  y vuelve a sentir  $\vec{E}$

$\Rightarrow$  Continuará su movimiento en línea recta, pero la fuerza de Coulomb la frenará hasta que quede en reposo, y se repita el ciclo. (+0,2)

c) Determine la velocidad angular  $\omega$  con la que debe girar el cilindro para que la partícula pueda llegar a la posición  $\vec{r} = 2a\hat{y}$ . (2 pts.)

Hint: Podría serle útil usar la conservación de la energía.

Queremos que ocurra esto  $\rightarrow$  Usemos conservación de la energía entre los instantes inicial y final.



$\hookrightarrow$  en esos instantes solo tenemos campo  $\vec{E}$  así que tenemos:

i) Energía cinética:

$$K = \frac{1}{2}mv^2$$

ii) Energía electrostática:

$$U = -q \cdot V$$

$\Rightarrow$  Para ii) necesitamos el potencial V

Por definición,  $V(r)$  es:

$$V(r) - V(r_0) = - \int_{r_0}^r \vec{E} \cdot d\vec{e} = - \int_{r_0}^r \left( \frac{\sigma a}{\epsilon_0 r} \hat{r} \right) \cdot (dr \hat{r}) = - \frac{\sigma a}{\epsilon_0} \int_{r_0}^r \frac{dr}{r} = - \frac{\sigma a}{\epsilon_0} \ln\left(\frac{r}{r_0}\right)$$

Obs: no podemos tomar  $r_0 = 0$  (pot. de ref. en  $\infty$ ) pues  $V$  diverge ya que el cilindro es infinito  $\Rightarrow$  lo dejaremos así para algún  $r_0$  arbitrario,  $+q$   $V(r_0) = 0$

$$\Rightarrow \boxed{V(r) = - \frac{\sigma a}{\epsilon_0} \ln\left(\frac{r}{r_0}\right)} \quad (+0,5)$$

Ahora calculemos  $E_i$  y  $E_f$ :

$$\bullet E_i = \frac{1}{2}mv_i^2 + (-q)V(r=2a) = \frac{q\sigma a}{\epsilon_0} \ln\left(\frac{2a}{r_0}\right) \quad \leftarrow \text{energía inicial}$$

0 reposo

$$\bullet E_f = \frac{1}{2}mv_f^2 + (-q)V(r=a) = \frac{1}{2}mv_f^2 + \frac{q\sigma a}{\epsilon_0} \ln\left(\frac{a}{r_0}\right) \quad \leftarrow \text{energía final}$$

$$\Rightarrow \Delta E = E_f - E_i \stackrel{!}{=} 0 \quad \Rightarrow \frac{1}{2}mv_f^2 + \frac{q\sigma a}{\epsilon_0} \ln\left(\frac{a}{r_0}\right) - \frac{q\sigma a}{\epsilon_0} \ln\left(\frac{2a}{r_0}\right) = 0$$

$$\Rightarrow \frac{1}{2}mv_f^2 = \frac{q\sigma a}{\epsilon_0} \ln\left(\frac{2a}{a}\right) = \frac{q\sigma a}{\epsilon_0} \ln(2)$$

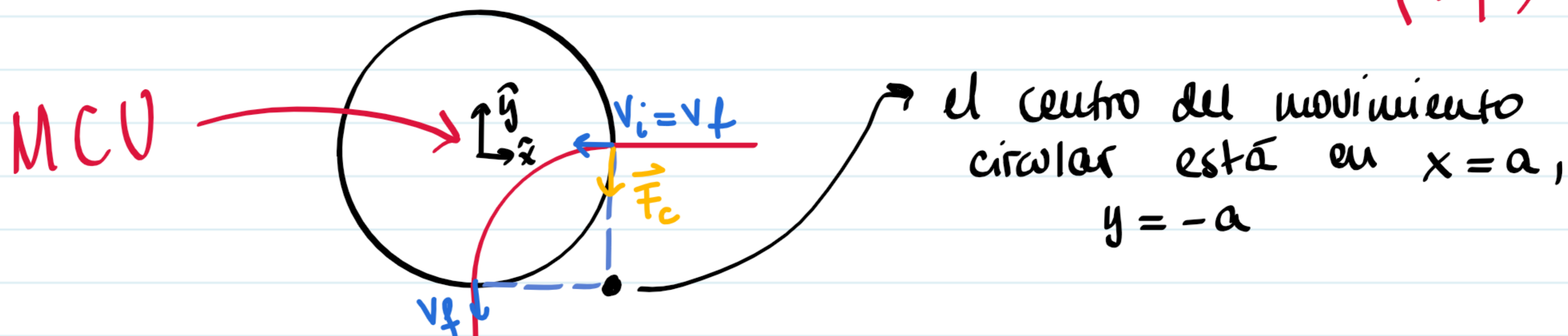
$$(+0,5) \Rightarrow \boxed{v_f = \sqrt{\frac{2q\sigma a}{m\epsilon_0} \ln(2)}} \rightarrow \text{rapidez al salir del cilindro. (1)}$$



Teniendo  $v_f$  tenemos que para que  $-q$  llegue a  $\vec{r} = -2a\hat{y}$ , debe salir del cilindro justo por  $\vec{r} = -a\hat{y}$  ya que al salir, se moverá en línea recta

$\Rightarrow$  el mov. de  $-q$  dentro del cilindro debe ser circular! por  $\vec{B} = \text{cte}$  de radio  $a$

y como el mov. es circular y  $\vec{B} = \text{cte}$ , la partícula mantiene su rapidez dentro del cilindro!  
 $\Rightarrow v_f = \text{cte} = v_i$  al entrar al cilindro.



Así, la fuerza que siente dentro del cilindro  $\vec{F}_B = -q(\vec{v} \times \vec{B})$  debe ser igual a una fuerza centrípeta  $\vec{F}_c = m \cdot \vec{a}_c$  para que el mov. sea circular:

$\rightarrow \vec{F}_B = -q(-v_f \hat{x}) \times (\mu_0 \sigma a \omega \hat{z}) = -q v_f \mu_0 \sigma a \omega \cdot \hat{y} \dots (2)$  (+0,3)  
fuerza al entrar al cilindro

y como  $\vec{a}_c = -\frac{v^2}{a} \hat{y}$  (apunta hacia el centro)  $\Rightarrow \vec{F}_c = -m \frac{v_f^2}{a} \hat{y} \dots (3)$  (+0,2)

Finalmente, igualando (2) y (3) tenemos:

$$+ q \mu_0 \sigma a \omega v_f = + m \frac{v_f^2}{a}$$

$$\Rightarrow \omega = v_f \cdot \left( \frac{m}{q \mu_0 \sigma a^2} \right) = \sqrt{\frac{2 q \sigma a}{m \epsilon_0} \ln(2)} \left( \frac{m}{q \mu_0 \sigma a^2} \right)$$

$$\Rightarrow \omega = \sqrt{\frac{2 \ln(2) m}{\epsilon_0 q \sigma a^3}} \cdot \frac{1}{\mu_0} \quad (+0,2)$$